

УДК 620.179.(147+162)

## ИССЛЕДОВАНИЕ СВАРНОГО СОЕДИНЕНИЯ ИЗ СТАЛИ 12Х18Н10Т АКУСТИЧЕСКИМ И МАГНИТНЫМ МЕТОДАМИ<sup>1</sup>

© В. В. Мишакин, В. А. Клюшников<sup>2</sup>

*Статья поступила 28 июля 2016 г.*

Представлены результаты исследования влияния пластического деформирования на магнитные и акустические характеристики материала сварного соединения из аустенитной стали 12Х18Н10Т. Показано, что неоднородность структурного состояния в зоне термического влияния приводит к неравномерному распределению акустических характеристик и магнитных свойств материала сварного соединения. В процессе пластического деформирования происходит образование мартенситной фазы, влияющей на свойства всего материала и имеющей модули упругости, отличные от модулей упругости исходной фазы — аустенита. Увеличение объемной доли мартенсита приводит к уменьшению модулей упругости материала и, как следствие, к уменьшению скоростей распространения ультразвуковых волн. Изменение скоростей распространения ультразвуковых волн ведет к заметным погрешностям в измерении характеристик исследуемого материала, например, толщины листа с помощью ультразвуковой толщинометрии. Выделение мартенсита (ферромагнетика) меняет также магнитные свойства материала. Установлена зависимость скорости распространения сдвиговых ультразвуковых волн от характеристики, связанной с изменением фазового состава аустенитной стали при пластическом деформировании. Разработан алгоритм определения толщины металла сварного соединения, подвергаемого обработке давлением и пластическому деформированию при эксплуатации конструкций. Показано, что дополнительное измерение магнитным методом характеристики, связанной с изменением фазового состава стали при деформации, существенно уменьшает погрешности измерения толщины металла сварного соединения.

**Ключевые слова:** аустенитная сталь; сварное соединение; пластическая деформация; мартенситное превращение; ультразвуковая толщинометрия; вихревоковый метод.

В сталях аустенитного класса при пластическом деформировании происходят интенсивные фазовые превращения, которые приводят к существенным изменениям физических свойств материала.

В зависимости от химического состава стали, скорости деформации, вида приложенного нагружения и др. из исходной параметрической  $\gamma$ -фазы аустенита, имеющего гранецентрированную решетку, могут сформироваться две различные мартенситные фазы:  $\varepsilon$ - и  $\alpha'$ -мартенситы (пара- и ферромагнетики). Первый обладает гексагональной плотноупакованной решеткой, второй — в общем случае тетрагональной, образованной в результате искажения объемно-центрированной решетки атомами углерода. Формирование мартенситных фаз может происходить следующими способами:  $\gamma \rightarrow \varepsilon \rightarrow \alpha'$  или  $\gamma \rightarrow \alpha'$  [1–4]. В работе [1] показано, что с увеличением степени деформации объем  $\varepsilon$ -мартенсита сначала увеличивается (до деформации 5 %), а затем при дальнейшем деформировании

уменьшается. Объемная доля  $\alpha'$ -мартенсита при этом неуклонно возрастает.

Эти превращения влияют как на интенсивность деформационного упрочнения, так и на образование микроскопических трещин. Экспериментальные исследования показали, что существует тесная взаимосвязь между плотностью микротрещин и объемной долей кристаллов мартенсита [5].

Выделение в процессе деформирования жесткой упрочняющей фазы мартенсита приводит к изменению модулей упругости, акустических и магнитных характеристик сплава. Это в свою очередь ведет к заметным погрешностям в измерении параметров исследуемого материала, например, толщины листа с помощью ультразвуковой толщинометрии (УЗТМ).

Как известно, УЗТМ-метод заключается в определении времени и скорости распространения ультразвуковых волн (УВ) в материале [6]. Дополнительные измерения, связанные с изменением магнитных свойств аустенитных сталей, и выявление связей магнитных свойств со скоростями УВ позволят уменьшить погрешности измерения толщины и расширить области применения ультразвуковых толщинометров.

<sup>1</sup> Работа выполнена при финансовой поддержке РФФИ (проект № 16-38-60155 мол\_а\_дк).

<sup>2</sup> Институт проблем машиностроения РАН — филиал Федерального исследовательского центра Института прикладной физики РАН, г. Нижний Новгород, Россия;  
e-mail: imndt31@mts-nn.ru

Снижение погрешностей при определении акустическим методом толщины элементов конструкций, в материале которых наблюдаются интенсивные фазовые изменения, — актуальная задача. Особенно это касается материала сварных соединений, подвергаемых пластическому деформированию.

Цель работы — на основе акустических и магнит разработка алгоритма для снижения погрешности определения толщины стали 12Х18Н10Т, подвергнутой пластическому деформированию.

Изменение модулей упругости материала вследствие выделения второй фазы (в нашем случае  $\alpha'$ -мартенсита) можно рассчитать, используя, например, приближение Фойгта [7]:

$$M_c = M_1 v_1 + M_2 v_2, \quad (1)$$

где  $M_c$ ,  $M_1$ ,  $M_2$  — модули упругости всего материала, фаз 1 и 2 соответственно;  $v_1$ ,  $v_2$  — процентное содержание 1-й и 2-й фаз ( $v_1 + v_2 = 1$ ).

Скорости сдвиговых и продольных УВ выражаются через модули сдвига  $\mu$  и Юнга  $E$  следующим образом [6]:

$$V_\tau = \sqrt{\frac{\mu}{\rho}}; V_l = \sqrt{\frac{E}{\rho} \frac{1-\nu}{(1+\nu)(1-2\nu)}}, \quad (2)$$

где  $V_\tau$  и  $V_l$  — скорости распространения сдвиговой и продольной УВ;  $\rho$  — плотность материала;  $\nu$  — коэффициент Пуассона.

Содержание объемной фазы  $\alpha'$ -мартенсита в процессе пластического деформирования сталей аустенитного класса (AISI 301LN и AISI 304L) меняется [8, 9].

При пластическом деформировании объемная доля мартенсита возрастает (рис. 1). Поскольку модули упругости мартенсита ( $E = 184$ ,  $\mu = 69$  ГПа) меньше модулей упругости аустенита ( $E = 206$ ;  $\mu = 80$  ГПа) [10], увеличение объемной доли мартенсита приводит к уменьшению модулей упругости всего материала и скоростей УВ.

Исследовали образцы нержавеющей стали аустенитного класса 12Х18Н10Т толщиной 6 и шириной 20 мм, имеющие в середине сварной шов (СШ), выполненный с помощью аргонодуговой сварки встык. Химический состав стали, % масс.: 0,02 C, 0,43 Si, 0,74 Mn, 17,76 Cr, 9,16 Ni, 0,32 Ti, 0,002 S, 0,033 P, 0,23 Cu.

Одноосное растяжение проводили при комнатной температуре поэтапно. Скорости нагружения образцов составляли 0,5 и 5 мм/мин, скорости деформации  $\dot{\epsilon} = 10^{-4}$  и  $10^{-3}$  с<sup>-1</sup>. До испытаний и после каждого этапа выполняли ультразвуковые исследования и анализ изменений магнитных характеристик, связанных с образованием магнитной фазы  $\alpha'$ -мартенсита.

На рис. 2 представлена схема проведения ультразвуковых измерений. Акустические характеристики определяли эхо-импульсным методом. Сдвиговые

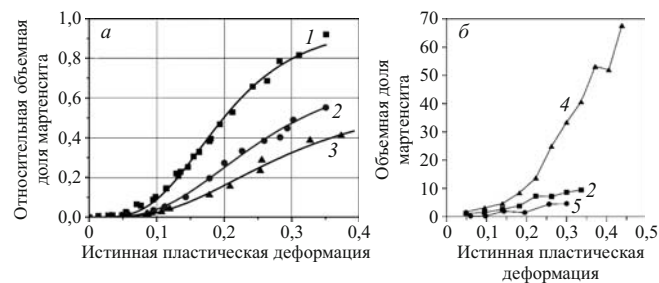


Рис. 1. Зависимость объемной доли  $\alpha'$ -мартенсита от истинной пластической деформации для сталей AISI 301LN (а) и AISI 304L (б) при скоростях деформации  $3 \cdot 10^{-4}$  (1),  $10^{-1}$  (2),  $2 \cdot 10^{-2}$  (3),  $1,25 \cdot 10^{-4}$  (4) и  $10^2$  (5) с<sup>-1</sup>

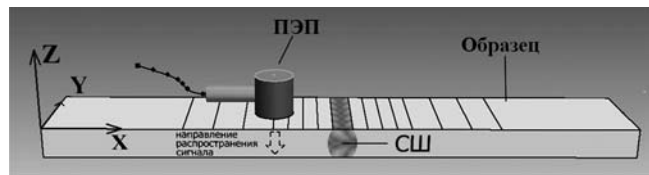


Рис. 2. Схема проведения акустических исследований

волны возбуждали с помощью пьезоэлектрического преобразователя (ПЭП) V156 фирмы Olympus (диаметр — 6 мм, несущая частота — 5 МГц). Рабочую часть образца разбивали на несколько зон, расстояние между которыми в основном материале составляло 6, а в зоне термического влияния (ЗТВ) и СШ — 4 мм. В выделенных зонах регистрировали амплитудно-временные диаграммы акустических сигналов. В результате обработки полученных данных (программа MathCAD) находили время распространения поперечных УВ, затем рассчитывали скорости (погрешности составляли около 3 нс и 5 м/с соответственно).

Изменение магнитных характеристик, связанное с образованием  $\alpha'$ -мартенсита, исследовали с помощью многофункционального вихревокового прибора «МВП-2М» (показания прибора отображают процентное содержание магнитной фазы  $\Phi$ ).

В результате акустических и магнитных исследований получили распределения по длине образцов скоростей сдвиговых УВ  $V_{zy}$ , поляризованных попереck нагружения, и величины  $\Phi$  при различных значениях пластической деформации  $\epsilon$  (рис. 3) (СШ — зоны 8–12, ЗТВ — зоны 6–8 и 12–14).

С ростом пластической деформации происходит развитие (причем в СШ и ЗТВ по-разному) неоднородности акустических и магнитных характеристик. В основном материале наблюдаются монотонные уменьшение скорости сдвиговых УВ  $V_{zy}$  и увеличение величины  $\Phi$ , связанное с выделением магнитной фазы (рис. 4).

На рис. 5 показана зависимость изменения  $\Phi$  ( $\Delta\Phi$ ) от изменения  $V_{zy}$  ( $\Delta V_{zy}$ ) в зонах основного материала.

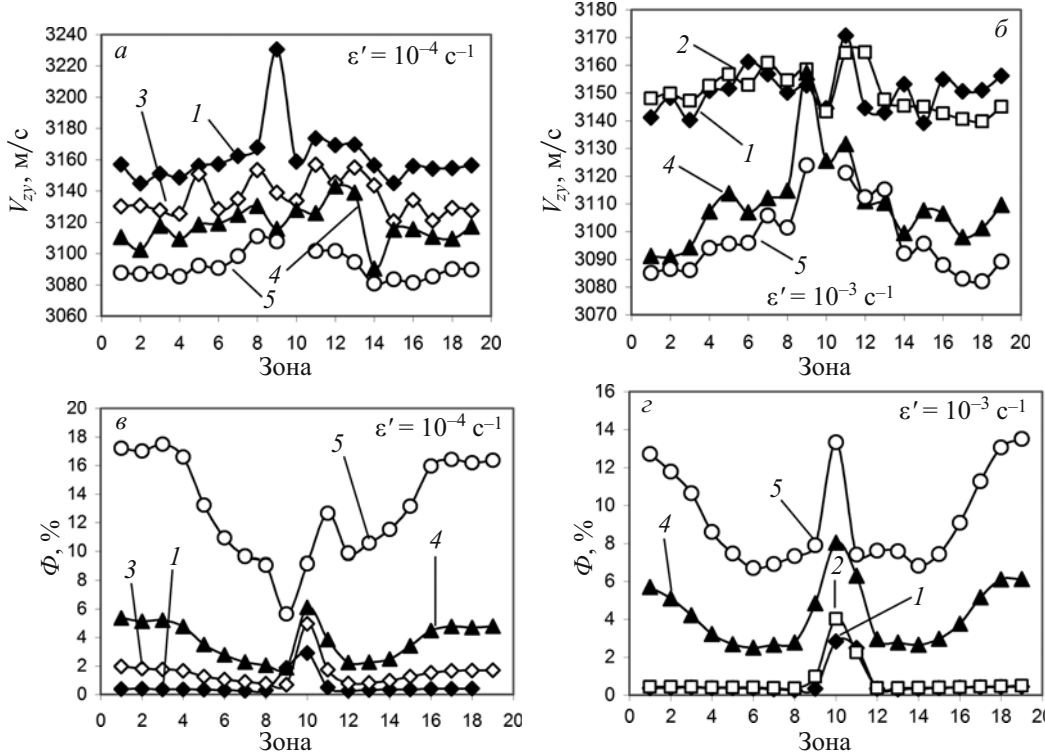


Рис. 3. Распределение скоростей  $V_{zy}$  (а, б) и величины  $\Phi$  (в, г) по длине образцов при степенях пластической деформации  $\varepsilon$  0 (1), 2 (2), 9 (3), 14 (4) и 24 (5) %

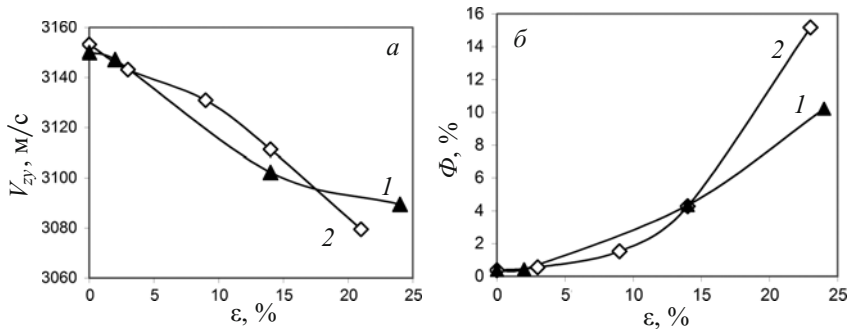


Рис. 4. Зависимости  $V_{zy}$  (а) и  $\Phi$  (б) в основном материале от пластической деформации  $\varepsilon$  (1 и 2 —  $\dot{\varepsilon} = 10^{-3}$  и  $10^{-4} \text{ c}^{-1}$  соответственно)

Приведенная зависимость хорошо аппроксимируется логарифмическим выражением вида:

$$\Delta V_{zy} = k_1 \ln(\Delta\Phi) + k_2, \quad (3)$$

где  $k_1$  и  $k_2$  равны  $-10$  и  $-36$  м/с (для  $\dot{\varepsilon} = 10^{-4} \text{ c}^{-1}$ ),  $-14$  и  $-29$  м/с (для  $\dot{\varepsilon} = 10^{-3} \text{ c}^{-1}$ ).

Используя выражение (3) и значение скорости  $V_{0zy}$  ( $\varepsilon = 0$  %), можно определить скорость УВ при наличии пластической деформации:

$$V_{zy}^\Phi = V_{0zy} + \Delta V_{zy} = V_{0zy} + k_1 \ln(\Delta\Phi) + k_2. \quad (4)$$

Толщину металла  $h_\phi$ , определяемую с помощью  $V_{zy}^\Phi$ , рассчитывали по следующей формуле:

$$h_\phi = \frac{1}{2} V_{zy}^\Phi t, \quad (5)$$

где  $t$  — текущее время распространения УВ.

При использовании УЗТМ-метода толщина материала

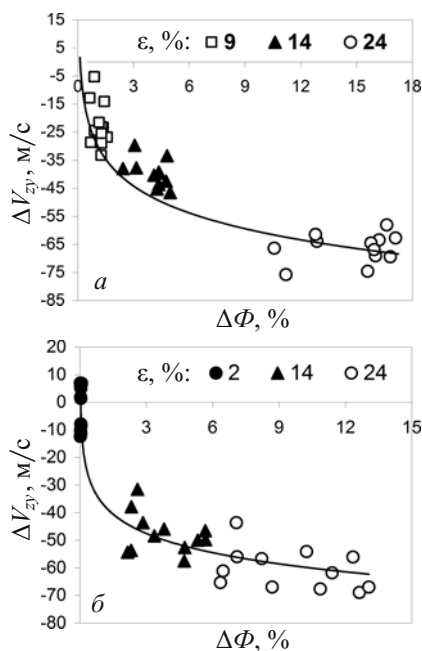
$$h_a = \frac{1}{2} V_{zy}^{\text{спр}} t, \quad (6)$$

где  $V_{zy}^{\text{спр}} = 3120$  м/с — скорость распространения сдвиговых волн в нержавеющих стальах [6].

На рис. 6 представлены распределения по зонам толщины металла, измеренной микрометром  $h_m$  и определенной с помощью выражения (5)  $h_\phi$  и методом ультразвуковой толщинометрии с использованием зависимости (6)  $h_a$ . Толщину в ЗТВ и СШ рассчитывали аналогично, как и толщину основного материала.

Абсолютные погрешности определения толщины (при начальном значении 6 мм) представлены в таблице. Видно, что предлагаемый подход, учитывающий изменение величины  $\Phi$ , заметно точнее традиционного УЗТМ-метода.

Таким образом, проведенные исследования показали, что при пластическом деформировании скорости



**Рис. 5.** Изменение  $\Phi$  в зависимости от изменения  $V_{zy}$  для образца с  $\dot{\varepsilon} = 10^{-4} \text{ с}^{-1}$  (а) и  $10^{-3} \text{ с}^{-1}$  (б)

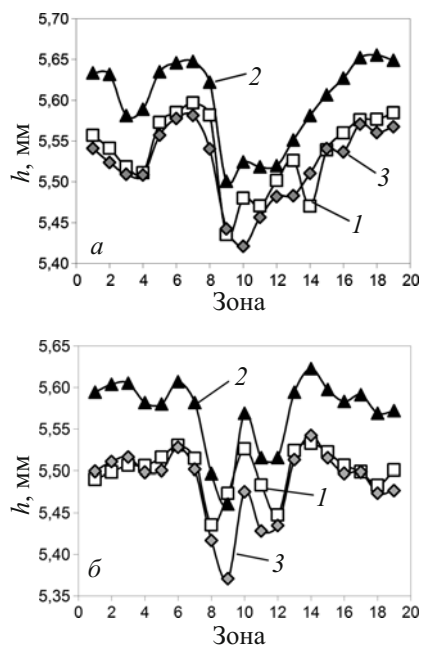
Абсолютные погрешности определения толщины материала, мм

Область	УЗТМ-метод	Предлагаемый алгоритм
Основной материал	≤0,07	≤0,01
ЗТВ	≤0,1	≤0,03
СШ	≤0,1	≤0,09

распространения сдвиговых УВ и характеристика магнитных свойств  $\Phi$  основного материала сварного соединения из аустенитной стали 12Х18Н10Т меняются монотонно (связь их изменений характеризуется логарифмической зависимостью). Разработанный алгоритм определения толщины металла сварного соединения в сравнении с традиционным УЗТМ-методом позволяет существенно снизить погрешности измерения. Его можно использовать при измерении толщины металла, подвергаемого обработке давлением и пластическому деформированию при эксплуатации конструкций.

## ЛИТЕРАТУРА

1. Mangonon P., Thomas G. The Martensite Phases in 304 Stainless Steel / Metallurg. Trans. 1970. Vol. 1. P. 1577 – 1586.
2. Гольдштейн М. И., Бронфин Б. М., Литвинов В. С. Металлофизика высокопрочных сплавов. — М.: Металлургия, 1986. — 312 с.
3. Гуляев А. П. Металловедение. — М.: Металлургия, 1986. — 544 с.
4. Seetharaman V., Krishnan R. Influence of the martensitic transformation on the deformation behaviour of an AISI 316 stainless steel at low temperatures / J. Mater. Sci. 1981. Vol. 16. P. 523 – 530.
5. Terent'ev V. F., Kolmakov A. G., Blinov V. M. Influence of martensite deformation on the fatigue of austenitic stainless steels / Deform. Razrush. Mater. 2007. N 6. P. 2 – 9 [in Russian].
6. Alechin N. P., Lupachev V. G. Ultrasonic defectoscopy: field reference. — Minsk: Vyshéishaya shkola, 1987. — 271 p. [in Russian].
7. Berestova S. A., Khananov Sh. M. O Some ways of becoming structurally-phenomenological theories in the mechanics of deformable bodies / Vestnik PNIPU. Mekh. 2010. N 4. P. 17 – 28 [in Russian].
8. Talonen J., Nenonen P., Pape G., Hännien H. Effect of strain rate on the strain-induced  $\gamma \rightarrow \alpha'$ -martensite transformation and mechanical properties of austenitic stainless steels / Metallurg. Mater. Trans. A. 2005. Vol. 36A. P. 421 – 432.
9. Lichtenfeld J. A., Mataya M. C., Van Tyne C. J. Effect of strain rate on the strain-strain behavior of alloy 309 and 304L austenitic stainless steel / Metallurg. Mater. Trans. A. 2006. Vol. 37A. P. 147 – 161.
10. Klyushnikov V. A. Determination of degradation of austenitic steels under static and fatigue loading on the basis of the acoustic method: candidate's thesis. — N. Novgorod, 2013. — 130 p. [in Russian].



**Рис. 6.** Распределения  $h_m$  (1),  $h_a$  (2) и  $h_\phi$  (3) по длине образцов с  $\dot{\varepsilon} = 10^{-4}$  (а) и  $10^{-3} \text{ с}^{-1}$  (б) ( $\varepsilon = 14\%$ )

7. Берестова С. А., Хананов Ш. М. О некоторых путях становления структурно-феноменологических теорий в механике деформируемого тела / Вестник ПНИПУ. Механика. 2010. № 4. С. 17 – 28.
8. Talonen J., Nenonen P., Pape G., Hännien H. Effect of strain rate on the strain-induced  $\gamma \rightarrow \alpha'$ -martensite transformation and mechanical properties of austenitic stainless steels / Metallurg. Mater. Trans. A. 2005. Vol. 36A. P. 421 – 432.
9. Lichtenfeld J. A., Mataya M. C., Van Tyne C. J. Effect of strain rate on the strain-strain behavior of alloy 309 and 304L austenitic stainless steel / Metallurg. Mater. Trans. A. 2006. Vol. 37A. P. 147 – 161.
10. Ключников В. А. Определение деградации сталей аустенитного класса при статическом и усталостном нагружениях на основе акустического метода: дис. ... канд. техн. наук. — Н. Новгород, 2013. — 130 с.

## REFERENCES

1. Mangonon P., Thomas G. The Martensite Phases in 304 Stainless Steel / Metallurg. Trans. 1970. Vol. 1. P. 1577 – 1586.
2. Gol'dshtejn M. I., Bronfin B. M., Litvinov V. S. Physics of metals of the high-strength alloys. — Moscow: Metallurgiya, 1986. — 312 p. [in Russian].
3. Gulyaev A. P. Metal science. — Moscow: Metallurgiya, 1986. — 544 p. [in Russian].
4. Seetharaman V., Krishnan R. Influence of the martensitic transformation on the deformation behaviour of an AISI 316 stainless steel at low temperatures / J. Mater. Sci. 1981. Vol. 16. P. 523 – 530.
5. Terent'ev V. F., Kolmakov A. G., Blinov V. M. Influence of martensite deformation on the fatigue of austenitic stainless steels / Deform. Razrush. Mater. 2007. N 6. P. 2 – 9 [in Russian].
6. Alechin N. P., Lupachev V. G. Ultrasonic defectoscopy: field reference. — Minsk: Vyshéishaya shkola, 1987. — 271 p. [in Russian].
7. Berestova S. A., Khananov Sh. M. O Some ways of becoming structurally-phenomenological theories in the mechanics of deformable bodies / Vestnik PNIPU. Mekh. 2010. N 4. P. 17 – 28 [in Russian].
8. Talonen J., Nenonen P., Pape G., Hännien H. Effect of strain rate on the strain-induced  $\gamma \rightarrow \alpha'$ -martensite transformation and mechanical properties of austenitic stainless steels / Metallurg. Mater. Trans. A. 2005. Vol. 36A. P. 421 – 432.
9. Lichtenfeld J. A., Mataya M. C., Van Tyne C. J. Effect of strain rate on the strain-strain behavior of alloy 309 and 304L austenitic stainless steel / Metallurg. Mater. Trans. A. 2006. Vol. 37A. P. 147 – 161.
10. Klyushnikov V. A. Determination of degradation of austenitic steels under static and fatigue loading on the basis of the acoustic method: candidate's thesis. — N. Novgorod, 2013. — 130 p. [in Russian].